

報 告

分析電子顕微鏡による一般環境中のアスベスト測定

渡邊 武春 鎌滝 裕輝 朝来野 国彦

1 はじめに

一般環境中のアスベスト濃度測定の方法には、長径 5 μm 以上のものを計測対象とする位相差光学顕微鏡 (Phase contrast Microscope : 以下、「PCM」という。) による方法と、分析電子顕微鏡 (Analytical Electron Microscopy : 以下、「AEM」という。) による長径 0.1 μm 以上を計測対象とする方法がある。筆者らは、1979年から PCM 法により、都内の環境濃度を立地特性別に調査してきたが、本調査では、PCM 法に加えて、AEM 法によるアスベスト濃度も併せて行った。AEM 法は、形態特性と構成元素の組成パターンから総合的に評価できるため、一般環境中の粉じんの発生源由来も推定できる可能性がある。

2 調査方法

1) 試料採取地点及び採取日

地点①～⑤は1985年の夏期及び冬期に、地点⑥は1987年に採取した。採取地点を図1に示す。

- ① 板橋区大和町交差点及び約30m離れた後背地
(8月4日, 11月29日)
- ② 杉並区大原交差点及び自排局
(8月17日, 11月21日)
- ③ 国設東京
(9月19日, 11月16日)
- ④ 環境科学研究所
(9月19日, 11月16日)
- ⑤ 檜原測定局

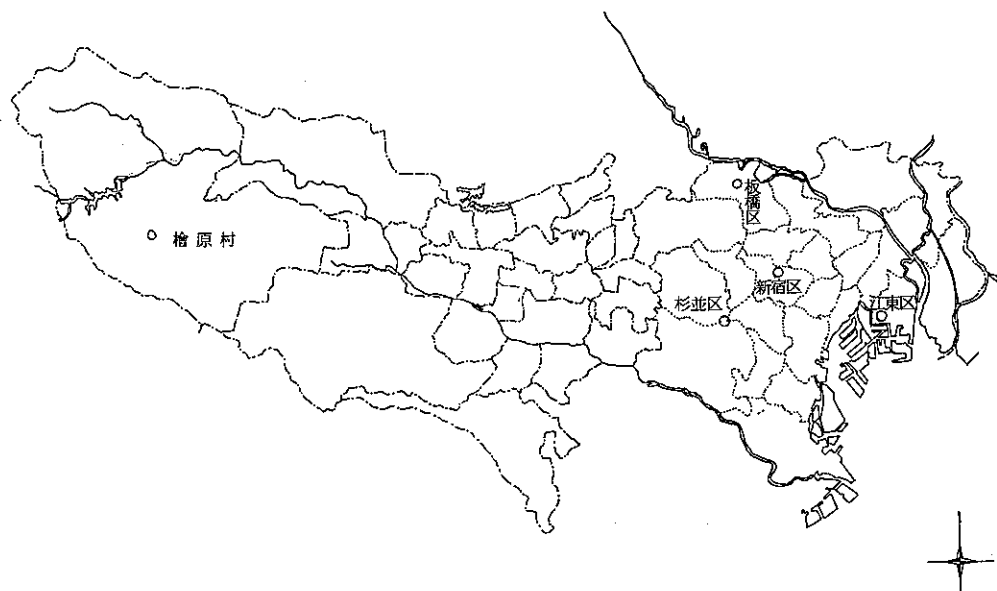


図1 調査地点配置図

(8月4日, 11月14日)

⑥ 小笠原村父島

(9月7日)

いざれの試料も $10\ell/\text{分}$ で4時間採取した。

2) 標本の作成

ローポリウムサンプラーにより、メンプラン・フィルター(35mm ϕ , 孔径 $0.8\mu\text{m}$)上に捕集し、これを正確に2等分して、PCM法とAEM法の標本に供した。

PCM用の標本は、スライドグラス上に採取済のろ紙を置き、アセトン蒸気で、ろ紙を透明化した後、トリアセチレンを滴下し、カバーグラスで固定した。

AEM用の標本は、次の手順で作成した。¹⁾

① 採取済ろ紙の低温灰化

② 灰化試料をイソプロピル・アルコール中に分散させる。

③ ニュークレボア・フィルター(17mm ϕ , 孔径 $0.2\mu\text{m}$)上に再捕集する。

④ この試料をカーボン蒸着する。

⑤ 3mm ϕ のニッケル製グリッド(1辺が $100\mu\text{m}$)上に、蒸着済試料を載せて、クロロホルム蒸気中で薄膜化した。

3) AEM装置の構成

電子顕微鏡(JEM1200EX)にエネルギー分散型X線分光(Energy Dispersive X-ray Spectroscopy:以下、「EDS」という)を付設。

4) AEM法によるアスペストの計数

加速電圧を 80kV 、計測倍率を3万倍に設定し、各標本とも、5網目中の長径 $0.1\mu\text{m}$ 以上で、長さと幅の比(A aspect ratio)が3:1以上のアスペストを計数の対象とした。その際に、長径と短径も併せて計測し、比重2.6を乗じて質量濃度(ng/m^3)の算出も行った。

なお、アスペストの同定には、形態観察、EDSスペクトル及び制限視野回析像(Diffraction Pattern)の3つの方法を用いた。

5) アスペスト濃度計算

PCM法は、総合倍率400倍で纖維を計数し、次に生物顕微鏡に換えて、生物顕微鏡でも見える纖維は計数値から除外する従来からの方法で計数し、次に濃度を算出した。

計算式は、既報の $F = A \cdot N / a \cdot v \cdot n$ を用いた。²⁾

AEM法は、次式により計算した。

$$F = (f/n) \times 2.2 \times 10^4 \times (1/L)$$

但し、F: 繊維濃度(f/ℓ)

f: 観察した纖維数(f)

n: 観察した網目数(個)

L: 総採気量(ℓ)

AEM法の定量下限値は5網目中のアスペスト計数の場合には、 $4f/\ell$ 程度である。³⁾

3 結 果

1) 地域別アスペスト濃度

PCM法によるアスペスト濃度は、 $0.12\sim0.45f/\ell$ の範囲にあり、地域別濃度は明らかでなかったが、AEM法では、明らかな違いが見られた。すなわち、交差点周辺の夏期の濃度は $4\sim42f/\ell$ 、平均値 $19f/\ell$ 。冬期は、 $38\sim107f/\ell$ 、平均値 $69f/\ell$ で、表1のモニタリング地点(夏期の $2f/\ell$ 、 $8f/\ell$ 、及び冬期の $12f/\ell$ 、 $40f/\ell$)及び清浄地(夏期の $7f/\ell$ 、冬期の $3f/\ell$)に比べて、道路周辺での濃度は高く、季節別では、冬期に高濃度であった。

表1 大気中アスペスト濃度

区 分 測定地点	測定日	PCM (f/ ℓ)	AEM			
			(f/ ℓ)	(ng/m^3) (f/ ℓ)		
交 差 点 周 辺	板 橋 区 大和町交差点	S63. 8. 4 S63.11.29	0.12 0.25	10.59 87.10	0.58 4.58	27.52 113.9
	大和町(交) 30m 地点	S63. 8. 4 S63.11.29	0.41 0.25	4.23 42.33	0.56 1.45	28.72 156.67
	杉 並 区 大原交差点	S63. 8.17 S63.11.21	0.04 0.12	42.01 107.20	59.30 0.02	29.09 110.55
	大 原 (交) 30m 地点	S63. 8.17 S63.11.21	0.41 0.33	18.52 38.03	0.10 99.06	18.52 110.06
モニ タ リ ン グ 地 点	新 宿 区 国 設 東 京	S63. 9.19 S63.11.16	0.39 0.16	2.08 12.19	10.90 9.44	14.56 33.93
	江 東 区 環 科 研	S63. 9.19 S63.11.16	0.36 0.45	7.76 39.54	0.41 21.34	12.93 121.43
清 净 地	檜 原 测 定 局	S63. 8. 4 S63.11.14	0.25 0.16	6.70 3.35	0.59 0.06	23.45 33.50
	小 笠 原 父 島	H 1. 9. 7	—	5.09	0.79	193.7

2) アスベストの種類と繊維径

AEM 法で計数した総計107本のアスベストの99%は、クリソタイルであった。また、繊維径については、さらに多くの繊維数を計測することが必要であるが概略的には、交差点直近では、長径0.1~1.0 μm の短纖維が多く、その他の地点では1.0 μm を超える長纖維が多かった。なお、質量濃度も表1にまとめた。

3) 交差点周辺における自動車ブレーキ由来の粉じん

自動車用ブレーキ・ライニングは、20~60%のアスベストに、亜鉛華、硫黄、加硫促進材などの配合剤を加えてつくられるが、これらの成分は、交差点付近のアスベスト付着粒子から検出されることもある。写真1-①及び1-②にその一例を示した。

4) 繊維状物質中のアスベストの割合

アスベストは、交差点周辺で43~51%，モニタリング地点では14~31%図2であった。

立地特性別に検討するためには、さらに多くの計数が必要である。

5) 父島の繊維状物質

PCM 法による観察では、アスベストと識別の難かしい繊維状物質が多数検出されたために、AEM 法を用いて調査した結果、2~10 μm の硫酸カルシウム系の成分で構成されていることが写真2-②により明らかになった。また、由来の明らかでない6.5 μm アスベストには、

塩化ナトリウム (NaCl) が多量付着しており、海洋からの影響が極めて高いことを示している（写真2-①及び2-③）。

一般環境中アスベストの定量と繊維状物質の同定を行った。AEM 法による0.1 μm 以上のアスベスト濃度と PCM 法による5 μm 以上のアスベスト濃度を濃度比率で比較すると、交差点周辺では PCM 法の数百倍であるのに対して、モニタリング地点では数十倍から百倍程度であった。

凡　例

- : 夏期及び冬期の繊維状物質本数
- : 夏期のアスベスト本数
- : 冬期のアスベスト本数

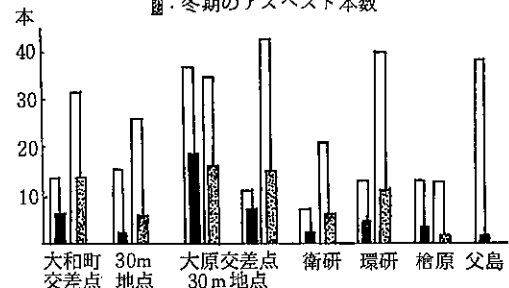


図2 AEM法による0.1 μm以上のアスベスト本数

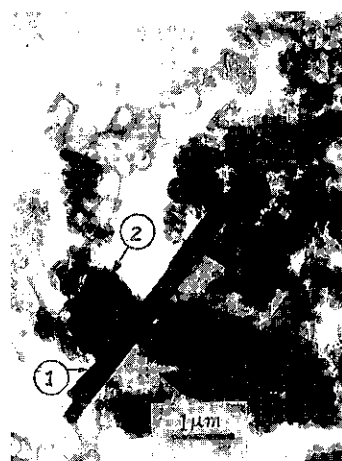
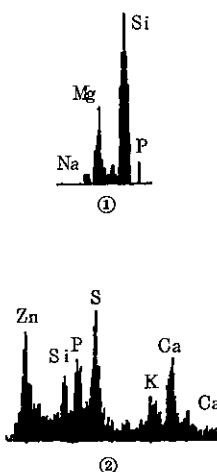


写真1 交差点の浮遊粉じん



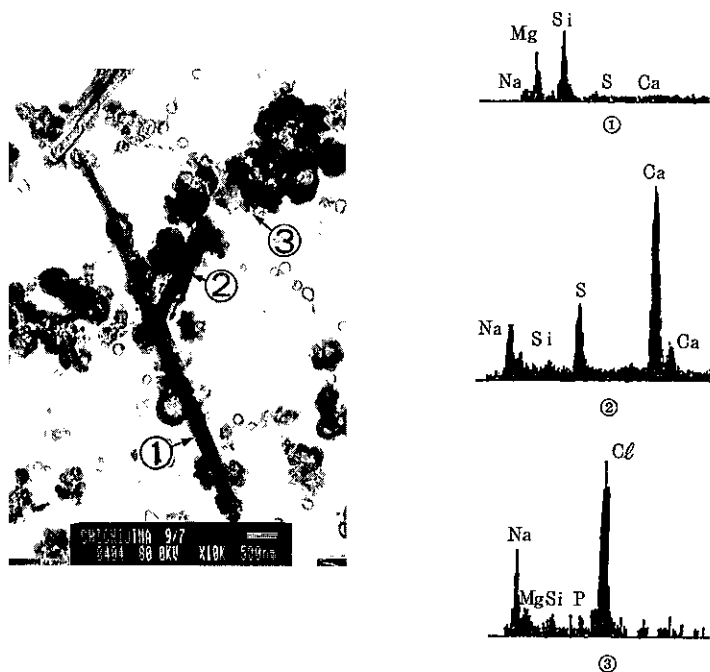


写真2 父島の浮遊粉じん

参考文献

- 1) 神山宣彦：電子顕微鏡による石綿粉じんの測定法(2)
労働の科学, 41, p.10 (1986).
- 2) 環境庁：モニタリングマニュアル (1985).
3) 環境庁：アスベスト発生源対策検討会報告書, p.114,
(1984).